



ISSN 2071-2898 (Print)  
ISSN 2071-2901 (Online)

**Бахвалов П.А., Козубская Т.К.**

Рёберно-ориентированная  
аппроксимация уравнений  
Навье – Стокса для  
осесимметрических течений  
на неструктурированной  
сетке

**Рекомендуемая форма библиографической ссылки:** Бахвалов П.А., Козубская Т.К. Рёберно-ориентированная аппроксимация уравнений Навье – Стокса для осесимметрических течений на неструктурированной сетке // Препринты ИПМ им. М.В.Келдыша. 2017. № 144. 24 с. doi:[10.20948/prepr-2017-144](https://doi.org/10.20948/prepr-2017-144)  
URL: <http://library.keldysh.ru/preprint.asp?id=2017-144>

**О р д е н а Л е н и н а**  
**ИНСТИТУТ ПРИКЛАДНОЙ МАТЕМАТИКИ**  
**имени М.В.КЕЛДЫША**  
**Р о с с и й с к о й а к а д е м и и н а у к**

**П. А. Бахвалов, Т. К. Козубская**

**Рёберно-ориентированная аппроксимация  
уравнений Навье – Стокса  
для осесимметрических течений  
на неструктурированной сетке**

**Москва — 2017**

**Бахвалов П. А., Козубская Т. К.**

Рёберно-ориентированная аппроксимация уравнений Навье – Стокса для осесимметрических течений на неструктурированной сетке

Описывается рёберно-ориентированная аппроксимация уравнений Навье – Стокса для осесимметрических течений идеального вязкого теплопроводного газа. Сравниваются различные аппроксимации источникового члена, заменяющего азимутальные потоки. Корректность разностной схемы демонстрируется на тестовых задачах.

**Ключевые слова:** уравнения Навье – Стокса, цилиндрические координаты, метод конечных объёмов, рёберно-ориентированная схема

**Pavel Alexeevich Bakhvalov, Tatiana Konstantinovna Kozubskaya**

Edge-based Approximation of the Navier – Stokes equations for axial symmetric flows on unstructured meshes

Considered are Navier – Stokes equations for axial symmetric flows of the viscous heat conducting ideal gas. Edge-based approximation on unstructured meshes are written. Compared are different approximations for the source term which models the azimuthal flux. The scheme is verified by test problems.

**Key words:** Navier – Stokes equations, cylindrical coordinates, finite volume method, edge-based scheme

Работа выполнена при поддержке Российского фонда фундаментальных исследований, проект 15-01-07911.

## **Оглавление**

Введение . . . . .	3
Уравнения Навье – Стокса . . . . .	4
Уравнения Навье – Стокса в цилиндрической системе координат . . . . .	6
Уравнения в случае осевой симметрии . . . . .	11
Вершинно-центрированный конечно-объёмный метод . . . . .	12
Граничные условия . . . . .	17
Верификация: линейные возмущения . . . . .	18
Верификация: течение между вращающимися цилиндрами . . . . .	22
Заключение . . . . .	23
Список литературы . . . . .	23

## Введение

Несмотря на то что современные суперкомпьютеры, а иногда и отдельные рабочие станции позволяют проводить расчёты задач аэродинамики в полной трёхмерной постановке, расчёты в двумерной или осесимметрической постановке по-прежнему могут представлять интерес благодаря значительно меньшей вычислительной стоимости. В некоторых случаях двумерные (в том числе осесимметрические) расчёты позволяют достаточно точно описать исследуемые физические явления. Это имеет место, например, при обтекании тел гиперзвуковым потоком [1]. Также при моделировании тел, близких к осесимметричным, они могут быть полезны в качестве предварительных расчётов, позволяющих увидеть течение и учесть его при построении трёхмерных расчётных сеток.

Одним из классов конечно-объёмных схем на неструктурированных сетках являются рёберно-ориентированные схемы. В их основе лежит классический метод Галёркина с непрерывными кусочно-линейными базисными функциями. В нелинейных задачах с преобладанием конвективного переноса этот метод является неустойчивым, и рёберно-ориентированный подход заключается в оснащении разностной схемы противопоточной диссипацией, характерной для конечно-объёмных схем. Такая схема, не требующая настроечных параметров, для решения уравнений Эйлера впервые была предложена в [2]. Хотя в рамках рёберно-ориентированного подхода, по-видимому, нельзя построить схему наперёд заданного порядка аппроксимации, схемы этого класса – EBR [3] и метод коррекции потоков [4, 5] – позволяют на практике добиваться приемлемой точности при сравнительно низкой вычислительной стоимости.

Вязкие члены также аппроксимируются при помощи метода Галёркина с кусочно-линейным базисом, и он также может быть представлен в рёберной форме [6]. Он формально не обладает аппроксимацией на неструктурированной сетке, но сходимость решения к точному присутствует. Надёжность этого метода обеспечивается компактностью шаблона, теоретически доказанной положительной определённой разностного лапласиана и его монотонностью на остроугольных сетках. Альтернативный подход для аппроксимации вязких членов, позволяющий добиться большей точности, предложен в [7], но он менее надёжен и приводит к трудностям в случае неявного интегрирования по времени.

В настоящей работе рёберно-ориентированный подход применяется для аппроксимации уравнений Навье – Стокса для осесимметрических течений идеального вязкого теплопроводного газа. Корректность разностной схемы демонстрируется на тестовых задачах.

## Уравнения Навье – Стокса

Рассмотрим уравнения Навье – Стокса для вязкого идеального сжимаемого газа в предположении равенства нулю коэффициента второй вязкости. В декартовой системе координат они имеют вид

$$\begin{aligned} \frac{\partial \rho}{\partial t} + \nabla_j(\rho u_j) &= 0; \\ \frac{\partial \rho u_i}{\partial t} + \nabla_j(\rho u_i u_j + \delta_{ij} p - \tau_{ij}) &= 0; \\ \frac{\partial}{\partial t} \left( \frac{\rho u_k u_k}{2} + \frac{p}{\gamma - 1} \right) + \nabla_j \left( \left( \frac{\rho u_k u_k}{2} + \frac{\gamma p}{\gamma - 1} \right) u_j - \tau_{jk} u_k + q_j \right) &= 0. \end{aligned} \quad (1)$$

По повторяющимся индексам здесь и далее предполагается суммирование. Тензор вязких напряжений  $\tau = \{\tau_{ij}\}$  и тепловой поток  $\mathbf{q} = \{q_j\}$  определяются формулами

$$\tau_{ij} = \mu \left( \nabla_i u_j + \nabla_j u_i - \frac{2}{3} \delta_{ij} \nabla_k u_k \right), \quad (2)$$

$$q_j = -\varkappa \nabla_j \left( \frac{p}{\rho} \right), \quad \varkappa = \frac{\gamma}{\gamma - 1} \frac{\mu}{\text{Pr}}. \quad (3)$$

Удобно в качестве основного взять набор переменных

$$\mathbf{U} = (U_0, U_1, U_2, U_3, U_4)^T = (\rho, u_x, u_y, u_z, p/\rho)^T.$$

Тогда в матричном виде уравнения Навье – Стокса (1)–(3) запишутся как

$$\frac{\partial}{\partial t} \mathbf{Q}(\mathbf{U}) + \nabla \cdot \mathcal{F}^{conv}(\mathbf{U}) - \nabla \cdot \mathcal{F}^{diss}(\tau(\nabla \mathbf{U}), \mathbf{q}(\nabla \mathbf{U}), \mathbf{U}) = 0, \quad (4)$$

где функция перехода от физических к консервативным переменным имеет вид  $\mathbf{Q}(\mathbf{U}) = (Q_0(\mathbf{U}), Q_1(\mathbf{U}), Q_2(\mathbf{U}), Q_3(\mathbf{U}), Q_4(\mathbf{U}))^T$ ,

$$Q_0(\mathbf{U}) = U_0, \quad Q_s(\mathbf{U}) = U_0 U_s, \quad Q_4(\mathbf{U}) = U_0 \left( \frac{U_1^2 + U_2^2 + U_3^2}{2} + \frac{U_4}{\gamma - 1} \right), \quad (5)$$

где  $s = 1, 2, 3$ , а функции  $\mathcal{F}^{conv}(\cdot)$ ,  $\tau(\cdot)$ ,  $\mathbf{q}(\cdot)$  и  $\mathcal{F}^{diss}(\cdot, \cdot)$  задаются формулами

$$\mathcal{F}^{conv}(\mathbf{U}) = \begin{pmatrix} U_0 U_1 & U_0 U_2 & U_0 U_3 \\ U_0(U_1^2 + U_4) & U_0 U_1 U_2 & U_0 U_1 U_3 \\ U_0 U_1 U_2 & U_0(U_2^2 + U_4) & U_0 U_2 U_3 \\ U_0 U_1 U_3 & U_0 U_2 U_3 & U_0(U_3^2 + U_4) \\ (Q_4(\mathbf{U}) + U_0 U_4) U_1 & (Q_4(\mathbf{U}) + U_0 U_4) U_2 & (Q_4(\mathbf{U}) + U_0 U_4) U_3 \end{pmatrix}, \quad (6)$$

$$(\tau(\nabla\mathbf{U}))_{ij} = \mu \left( \nabla_i U_j + \nabla_j U_i - \frac{2}{3} \delta_{ij} \sum_{k=1}^3 \nabla_k U_k \right), \quad i, j = 1, \dots, 3, \quad (7)$$

$$(\mathbf{q}(\nabla\mathbf{U}))_j = -\varkappa \nabla_j U_4, \quad j = 1, \dots, 3, \quad (8)$$

$$\mathcal{F}^{diss}(\tau, \mathbf{q}, \mathbf{U}) = \begin{pmatrix} 0 & 0 & 0 \\ \tau_{11} & \tau_{12} & \tau_{13} \\ \tau_{12} & \tau_{22} & \tau_{23} \\ \tau_{13} & \tau_{23} & \tau_{33} \\ \sum_{j=1}^3 \tau_{1j} U_j - q_1 & \sum_{j=1}^3 \tau_{2j} U_j - q_2 & \sum_{j=1}^3 \tau_{3j} U_j - q_3 \end{pmatrix}. \quad (9)$$

Также будем рассматривать линеаризованные уравнения Навье – Стокса. Пульсационные переменные будем обозначать штрихами при имени переменных, а фоновые поля – чертой над ними. Введём

$$\mathbf{U}' = (U'_0, U'_1, U'_2, U'_3, U'_4)^T = (\rho', u'_x, u'_y, u'_z, T')^T, \quad T' = \frac{p'}{\bar{\rho}} - \rho' \frac{\bar{p}}{\bar{\rho}^2}.$$

Линеаризованная функция перехода к консервативным переменным и линеаризованная функция конвективных потоков имеют вид

$$\mathbf{Q}^{lin}(\mathbf{U}', \bar{\mathbf{U}}) = \frac{d\mathbf{Q}}{d\mathbf{U}}(\bar{\mathbf{U}}) \mathbf{U}', \quad \mathcal{F}^{conv,lin}(\mathbf{U}', \bar{\mathbf{U}}) = \frac{d\mathcal{F}^{conv}}{d\mathbf{U}}(\bar{\mathbf{U}}) \mathbf{U}'. \quad (10)$$

В частности, при отсутствии фонового потока ( $\bar{u}_x = \bar{u}_y = \bar{u}_z = 0$ ) и однородных полях плотности и давления  $\bar{\rho} = 1, \bar{p} = 1/\gamma$  справедливо

$$\mathbf{Q}^{lin}(\mathbf{U}', \bar{\mathbf{U}}) = (U'_0, U'_1, U'_2, U'_3, U'_0/(\gamma(\gamma-1)) + U'_4/(\gamma-1))^T,$$

$$\mathcal{F}^{conv,lin}(\mathbf{U}', \bar{\mathbf{U}}) = \begin{pmatrix} U'_1 & U'_2 & U'_3 \\ U'_4 + U'_0/\gamma & 0 & 0 \\ 0 & U'_4 + U'_0/\gamma & 0 \\ 0 & 0 & U'_4 + U'_0/\gamma \\ U'_1/(\gamma-1) & U'_2/(\gamma-1) & U'_3/(\gamma-1) \end{pmatrix}.$$

Тензор вязких напряжений  $\tau$  и вектор тепловых потоков являются линейными функционалами от  $\nabla\mathbf{U}$ , поэтому выражения для их компонент (7) и (8) не претерпевают изменений при линеаризации. В целом, если пренебречь зависимостью коэффициента динамической вязкости от пульсаций, линеаризованные уравнения записываются в виде

$$\begin{aligned} & \frac{\partial}{\partial t} \mathbf{Q}^{lin}(\mathbf{U}', \bar{\mathbf{U}}) + \nabla \cdot \mathcal{F}^{conv,lin}(\mathbf{U}', \bar{\mathbf{U}}) - \\ & - \nabla \cdot \mathcal{F}^{diss}(\tau(\nabla\mathbf{U}'), \mathbf{q}(\nabla\mathbf{U}'), \bar{\mathbf{U}}) - \nabla \cdot \mathcal{F}^{diss}(\tau(\nabla\bar{\mathbf{U}}), 0, \mathbf{U}') = 0. \end{aligned} \quad (11)$$

## Уравнения Навье – Стокса в цилиндрической системе координат

Перепишем уравнения Навье – Стокса (1)–(3) в цилиндрической системе координат. К цилиндрической системе преобразуем как координаты, так и компоненты скоростей.

Всюду будем пользоваться компонентами скоростей, имеющими ту же размерность, что и в декартовой системе координат:

$$\begin{aligned} u_r &= \frac{x}{r}u_x + \frac{y}{r}u_y, \\ u_\varphi &= -\frac{y}{r}u_x + \frac{x}{r}u_y. \end{aligned} \quad (12)$$

При этом

$$\begin{aligned} u_x &= u_r \cos \varphi - u_\varphi \sin \varphi; \\ u_y &= u_r \sin \varphi + u_\varphi \cos \varphi; \\ \nabla_x &= \cos \varphi \nabla_r - \frac{1}{r} \sin \varphi \nabla_\varphi; \\ \nabla_y &= \sin \varphi \nabla_r + \frac{1}{r} \cos \varphi \nabla_\varphi. \end{aligned}$$

Дивергенция в цилиндрической системе координат записывается в виде

$$\nabla_j v_j = \frac{1}{r} \frac{\partial(rv_r)}{\partial r} + \frac{1}{r} \frac{\partial v_\varphi}{\partial \varphi} + \frac{\partial v_z}{\partial z}. \quad (13)$$

Выразим из уравнения для декартовых компонент импульса выражение для его радиальной и угловой компонент. Рассмотрим отдельно конвективную и вязкую составляющие.

$$\begin{aligned} -\frac{\partial(r\rho u_r)}{\partial t} &= -x \frac{\partial}{\partial t} (\rho u_x) - y \frac{\partial}{\partial t} (\rho u_y) = \Phi_r^{conv} - \Phi_r^{diss}, \\ -\frac{\partial(r\rho u_\varphi)}{\partial t} &= y \frac{\partial}{\partial t} (\rho u_x) - x \frac{\partial}{\partial t} (\rho u_y) = \Phi_\varphi^{conv} - \Phi_\varphi^{diss}, \\ -\frac{\partial(r\rho u_z)}{\partial t} &= -r \frac{\partial}{\partial t} (\rho u_z) = \Phi_z^{conv} - \Phi_z^{diss}. \end{aligned}$$

Начнём с конвективных потоков.

$$\begin{aligned}
 \Phi_r^{conv} &= x (\nabla_j (\rho u_x u_j) + \nabla_x p) + y (\nabla_j (\rho u_y u_j) + \nabla_y p) = \\
 &= (x \nabla_x p + y \nabla_y p) + (\nabla_j (x \rho u_x u_j) - \rho u_x^2) + (\nabla_j (y \rho u_y u_j) - \rho u_y^2) = \\
 &= r \frac{\partial p}{\partial r} + \nabla_j (r \rho u_r u_j) - \rho (u_r^2 + u_\varphi^2) = \\
 &= r \frac{\partial p}{\partial r} + \frac{1}{r} \frac{\partial}{\partial r} (r^2 \rho u_r^2) + \frac{1}{r} \frac{\partial}{\partial \varphi} (r \rho u_r u_\varphi) + \frac{\partial}{\partial z} (r \rho u_r u_z) - \rho u_r^2 - \rho u_\varphi^2 = \\
 &= \frac{\partial}{\partial r} (r (\rho u_r^2 + p)) + \frac{1}{r} \frac{\partial}{\partial \varphi} (r \rho u_r u_\varphi) + \frac{\partial}{\partial z} (r \rho u_r u_z) - p - \rho u_\varphi^2.
 \end{aligned}$$

$$\begin{aligned}
 \Phi_\varphi^{conv} &= -y (\nabla_j (\rho u_x u_j) + \nabla_x p) + x (\nabla_j (\rho u_y u_j) + \nabla_y p) = \\
 &= (-y \nabla_x p + x \nabla_y p) + (\nabla_j ((-y) \rho u_x u_j) + \rho u_x u_y) + (\nabla_j (x \rho u_y u_j) - \rho u_x u_y) = \\
 &= \frac{\partial p}{\partial \varphi} + \nabla_j (r \rho u_\varphi u_j) = \\
 &= \frac{\partial p}{\partial \varphi} + \frac{1}{r} \frac{\partial}{\partial r} (r^2 \rho u_\varphi u_r) + \frac{1}{r} \frac{\partial}{\partial \varphi} (r \rho u_\varphi^2) + \frac{\partial}{\partial z} (r \rho u_\varphi u_z) = \\
 &= \frac{\partial}{\partial r} (r \rho u_r u_\varphi) + \frac{1}{r} \frac{\partial}{\partial \varphi} (r (\rho u_\varphi^2 + p)) + \frac{\partial}{\partial z} (r \rho u_\varphi u_z) + \rho u_r u_\varphi.
 \end{aligned}$$

$$\begin{aligned}
 \Phi_z^{conv} &= r \nabla_j (\rho u_z u_j) + r \nabla_z p = \\
 &= \frac{\partial}{\partial r} (r \rho u_r u_z) + \frac{1}{r} \frac{\partial}{\partial \varphi} (r \rho u_\varphi u_z) + \frac{\partial}{\partial z} (r (\rho u_z^2 + p)).
 \end{aligned}$$

Таким образом, в цилиндрических координатах уравнения Эйлера записываются в следующем виде:

$$\begin{aligned}
 \frac{\partial}{\partial t} (r \rho) + \frac{\partial}{\partial r} (r u_r) + \frac{1}{r} \frac{\partial}{\partial \varphi} (r u_\varphi) + \frac{\partial}{\partial z} (r u_z) &= 0, \\
 \frac{\partial}{\partial t} (r \rho u_z) + \frac{\partial}{\partial r} (r \rho u_r u_z) + \frac{1}{r} \frac{\partial}{\partial \varphi} (r \rho u_\varphi u_z) + \frac{\partial}{\partial z} (r (\rho u_z^2 + p)) &= 0, \\
 \frac{\partial}{\partial t} (r \rho u_r) + \frac{\partial}{\partial r} (r (\rho u_r^2 + p)) + \frac{1}{r} \frac{\partial}{\partial \varphi} (r \rho u_r u_\varphi) + \frac{\partial}{\partial z} (r \rho u_r u_z) - p - \rho u_\varphi^2 &= 0, \\
 \frac{\partial}{\partial t} (r \rho u_\varphi) + \frac{\partial}{\partial r} (r \rho u_r u_\varphi) + \frac{1}{r} \frac{\partial}{\partial \varphi} (r (\rho u_\varphi^2 + p)) + \frac{\partial}{\partial z} (r \rho u_\varphi u_z) + \rho u_r u_\varphi &= 0, \\
 \frac{\partial}{\partial t} (r E) + \frac{\partial}{\partial r} (r (E + p) u_r) + \frac{1}{r} \frac{\partial}{\partial \varphi} (r (E + p) u_\varphi) + \frac{\partial}{\partial z} (r (E + p) u_z) &= 0,
 \end{aligned}$$

где полная энергия единицы объёма  $E$  определяется как  $E = p/(\gamma - 1) + \rho u^2/2$ .



Определяя теперь основной набор переменных как  $\mathbf{U} = (\rho, u_z, u_r, u_\varphi, p/\rho)^T$  и вводя

$$\tilde{\nabla} = (\partial/\partial z, \partial/\partial r, 1/r \partial/\partial \varphi),$$

можно переписать уравнения Эйлера для цилиндрической системы координат в матричном виде:

$$\frac{\partial(r\mathbf{Q}(\mathbf{U}))}{\partial t} + \tilde{\nabla} \cdot (r\mathcal{F}^{conv}(\mathbf{U})) = \mathbf{H}^{conv}(\mathbf{U}),$$

где  $\mathcal{F}^{conv}(\cdot)$  – обычная эйлеровская функция потоков (6), а источниковый член  $\mathbf{H}^{conv}(\mathbf{U})$  выражается формулой

$$\mathbf{H}^{conv}(\mathbf{U}) = (0, 0, p + \rho u_\varphi^2, -\rho u_r u_\varphi, 0)^T.$$

Теперь перейдём к вязким слагаемым в уравнениях для компонент импульса. Пусть  $\hat{x}_j = \{x, j = x; y, j = y; 0, j = z\}$ . Тогда

$$\begin{aligned} \Phi_r^{diss} &= x \nabla_j \tau_{xj} + y \nabla_j \tau_{yj} = r \left( \frac{x}{r} \nabla_j \tau_{xj} + \frac{y}{r} \nabla_j \tau_{yj} \right) = \\ &= r \nabla_j \left( \frac{x}{r} \tau_{xj} + \frac{y}{r} \tau_{yj} \right) - r \tau_{xj} \left( \frac{\delta_{xj}}{r} - \frac{x \hat{x}_j}{r^3} \right) - r \tau_{yj} \left( \frac{\delta_{yj}}{r} - \frac{y \hat{x}_j}{r^3} \right). \end{aligned}$$

Пусть  $\sigma_r$  – вектор, в декартовых координатах имеющий компоненты  $\sigma_{rj} = (x\tau_{xj} + y\tau_{rj})/r$ . Пользуясь (12), запишем его цилиндрические компоненты:

$$\begin{aligned} \sigma_{rr} &= \frac{1}{r^2} (\tau_{xx} x^2 + 2\tau_{xy} xy + \tau_{yy} y^2); \\ \sigma_{r\varphi} &= \frac{1}{r^2} (-xy\tau_{xx} - y^2\tau_{xy} + x^2\tau_{xy} + xy\tau_{yy}); \\ \sigma_{rz} &= \frac{1}{r} (x\tau_{xz} + y\tau_{yz}). \end{aligned}$$

Применяя формулу для дивергенции вектора в цилиндрических координатах (13), получаем

$$\begin{aligned} \Phi_r^{diss} &= \nabla_r (r\sigma_{rr}) + \nabla_\varphi \sigma_{r\varphi} + \nabla_z (r\sigma_{rz}) + \\ &+ \left( -\tau_{xx} - \tau_{yy} + \frac{1}{r^2} (\tau_{xx} x^2 + 2\tau_{xy} xy + \tau_{yy} y^2) \right). \end{aligned} \quad (14)$$

Теперь рассмотрим вязкие потоки в азимутальном направлении.

$$\begin{aligned}\Phi_{\varphi}^{diss} &= -y\nabla_j\tau_{xj} + x\nabla_j\tau_{yj} = r\left(-\frac{y}{r}\nabla_j\tau_{xj} + \frac{x}{r}\nabla_j\tau_{yj}\right) = \\ &= r\nabla_j\left(-\frac{y}{r}\tau_{xj} + \frac{x}{r}\tau_{yj}\right) + r\tau_{xj}\left(\frac{\delta_{yj}}{r} - \frac{y\hat{x}_j}{r^3}\right) - r\tau_{yj}\left(\frac{\delta_{xj}}{r} - \frac{x\hat{x}_j}{r^3}\right).\end{aligned}$$

Пусть  $\sigma_{\varphi}$  – вектор, в декартовой системе координат имеющий компоненты  $\sigma_{\varphi j} = (-y\tau_{xj} + x\tau_{rj})/r$ . Пользуясь (12), запишем его цилиндрические компоненты:

$$\begin{aligned}\sigma_{\varphi\varphi} &= \frac{1}{r^2}(y^2\tau_{xx} - 2xy\tau_{xy} + x^2\tau_{yy}); \\ \sigma_{\varphi z} &= \frac{1}{r}(-y\tau_{xz} + x\tau_{yz}); \quad \sigma_{\varphi r} = \sigma_{r\varphi}.\end{aligned}$$

Применяя формулу для дивергенции вектора в цилиндрических координатах, получаем

$$\Phi_{\varphi}^{diss} = \nabla_r(r\sigma_{\varphi r}) + \nabla_{\varphi}\sigma_{\varphi\varphi} + r\nabla_z\sigma_{\varphi z} + \frac{1}{r^2}(-\tau_{xx}xy + \tau_{xy}(x^2 - y^2) + \tau_{yy}xy). \quad (15)$$

В осевом направлении

$$\Phi_z^{diss} = r\nabla_j\tau_{zj} = \nabla_r(x\tau_{xz} + y\tau_{yz}) + \nabla_{\varphi}\left(-\frac{y}{r}\tau_{xz} + \frac{x}{r}\tau_{yz}\right) + \nabla_z(r\tau_{zz}).$$

Введём вектор  $\sigma_z$  с декартовыми компонентами  $\sigma_{zj} = \tau_{zj}$ . Его цилиндрические компоненты равны  $\sigma_{zr} = \sigma_{rz}$ ,  $\sigma_{z\varphi} = \sigma_{\varphi z}$  и  $\sigma_{zz} = \tau_{zz}$ . Отсюда следует  $\Phi_z^{diss} = \nabla_r(r\sigma_{zr}) + \nabla_{\varphi}\sigma_{z\varphi} + r\nabla_z\sigma_{zz}$ .

Таким образом, из (14) из (15) получим выражения

$$\begin{aligned}\Phi_r^{diss} &= \nabla_r(r\sigma_{rr}) + \nabla_{\varphi}\sigma_{r\varphi} + r\nabla_z\sigma_{rz} - \sigma_{\varphi\varphi}, \\ \Phi_{\varphi}^{diss} &= \nabla_r(r\sigma_{r\varphi}) + \nabla_{\varphi}\sigma_{\varphi\varphi} + r\nabla_z\sigma_{\varphi z} + \sigma_{r\varphi}, \\ \Phi_z^{diss} &= \nabla_r(r\sigma_{rz}) + \nabla_{\varphi}\sigma_{\varphi z} + r\nabla_z\sigma_{zz}.\end{aligned}$$

Пусть  $\sigma$  – симметрическая матрица, составленная из цилиндрических компонент векторов  $\sigma_r$ ,  $\sigma_{\varphi}$  и  $\sigma_z$ :

$$\sigma = \{\sigma_{rr}, \sigma_{r\varphi}, \sigma_{rz}, \sigma_{\varphi\varphi}, \sigma_{\varphi z}, \sigma_{zz}\}. \quad (16)$$

Выразим эти компоненты через цилиндрические компоненты скоростей. Выкладки исключительно громоздкие, поэтому приведём только конечные выражения:

$$\begin{aligned}
\sigma_{rr} &= \mu \left( \frac{4}{3} \nabla_r u_r - \frac{2}{3r} u_r - \frac{2}{3} \nabla_z u_z - \frac{2}{3r} \nabla_\varphi u_\varphi \right) = 2\mu \nabla_r u_r - \frac{2}{3} \mu \operatorname{div} \mathbf{u}; \\
\sigma_{\varphi\varphi} &= \mu \left( \frac{4}{3r} \nabla_\varphi u_\varphi + \frac{4}{3r} u_r - \frac{2}{3} \nabla_z u_z - \frac{2}{3} \nabla_r u_r \right) = \\
&= \frac{2\mu}{r} \nabla_\varphi u_\varphi + \frac{2\mu}{r} u_r - \frac{2}{3} \mu \operatorname{div} \mathbf{u}; \\
\sigma_{zz} &= \mu \left( \frac{4}{3} \nabla_z u_z - \frac{2}{3r} u_r - \frac{2}{3r} \nabla_\varphi u_\varphi - \frac{2}{3} \nabla_r u_r \right) = \frac{2\mu}{r} \nabla_z u_z - \frac{2}{3} \mu \operatorname{div} \mathbf{u}; \\
\sigma_{r\varphi} &= \mu \left( \nabla_r u_\varphi + \frac{1}{r} \nabla_\varphi u_r - \frac{1}{r} u_\varphi \right); \\
\sigma_{\varphi z} &= \mu \left( \nabla_z u_\varphi + \frac{1}{r} \nabla_\varphi u_z \right); \\
\sigma_{rz} &= \mu (\nabla_r u_z + \nabla_z u_r).
\end{aligned} \tag{17}$$

Дивергенция скоростей вычисляется формулой (13).

В уравнении энергии диссипативное слагаемое имеет вид  $\nabla \cdot \mathcal{F}_E^{diss}$ , где  $\mathcal{F}_{E,j}^{diss} = \tau_{jk} u_k - q_j$ . Пользуясь инвариантностью скалярного произведения относительно поворота векторов, получим

$$\mathcal{F}_{E,j}^{diss} = \tau_{jk} u_k - q_j = \sigma_{rj} u_r + \sigma_{\varphi j} u_\varphi + \sigma_{zj} u_z - q_j.$$

Снова пользуясь формулой для дивергенции в цилиндрических координатах, получаем

$$\begin{aligned}
r \nabla \cdot \mathcal{F}_E^{diss} &= \frac{\partial}{\partial r} (r(\sigma_{rr} u_r + \sigma_{r\varphi} u_\varphi + \sigma_{rz} u_z - q_r)) + \\
&+ \frac{1}{r} \frac{\partial}{\partial \varphi} (r(\sigma_{r\varphi} u_r + \sigma_{\varphi\varphi} u_\varphi + \sigma_{\varphi z} u_z - q_\varphi)) + \frac{\partial}{\partial z} (r(\sigma_{rz} u_r + \sigma_{\varphi z} u_\varphi + \sigma_{zz} u_z - q_z)).
\end{aligned}$$

Цилиндрические компоненты тензора скоростей деформаций определяются выражениями (17), а для цилиндрические компоненты вектора теплового потока определяются как

$$q_r = -\kappa \frac{\partial T}{\partial r}, \quad q_\varphi = -\kappa \frac{1}{r} \frac{\partial T}{\partial \varphi}, \quad q_z = -\kappa \frac{\partial T}{\partial z}.$$

Таким образом, уравнения Навье – Стокса в цилиндрической системе координат можно записать в виде

$$\begin{aligned}
\frac{\partial(r\mathbf{Q}(\mathbf{U}))}{\partial t} + \tilde{\nabla} \cdot (r\mathcal{F}^{conv}(\mathbf{U})) - \tilde{\nabla} \cdot (r\mathcal{F}^{diss}(\sigma(\mathbf{U}, \tilde{\nabla}\mathbf{U}), \mathbf{q}(\tilde{\nabla}\mathbf{U}), \mathbf{U})) &= \\
= \mathbf{H}^{conv}(\mathbf{U}) + \mathbf{H}^{diss}(\sigma(\mathbf{U}, \tilde{\nabla}\mathbf{U})), &
\end{aligned} \tag{18}$$

где

$$\mathbf{U} = (\rho, u_z, u_r, u_\varphi, p/\rho)^T, \quad \tilde{\nabla} = (\partial/\partial z, \partial/\partial r, 1/r \partial/\partial \varphi),$$

$\mathbf{Q}(\cdot)$ ,  $\mathbf{q}(\cdot)$ ,  $\mathcal{F}^{conv}(\cdot)$  и  $\mathcal{F}^{diss}(\cdot, \cdot)$  – обычные функции консервативных переменных (5), тепловых потоков (8), конвективных (6) и диссипативных потоков (9),  $\sigma$  – матрица цилиндрических компонент тензора вязких напряжений (16). Источниковые члены  $\mathbf{H}^{conv}$  и  $\mathbf{H}^{diss}$  выражаются формулами

$$\mathbf{H}^{conv}(\mathbf{U}) = (0, 0, p + \rho u_\varphi^2, -\rho u_r u_\varphi, 0)^T, \quad \mathbf{H}^{diss}(\sigma) = (0, 0, -\sigma_{\varphi\varphi}, \sigma_{r\varphi}, 0)^T.$$

Формула (18) отличается от уравнений в декартовой системе координат (4)–(9) множителем  $r$  под производными и наличием источникового члена. Кроме того, отличие присутствует в выражениях для компонент тензора вязких напряжений.

Процедура линейризации для уравнений в цилиндрических координат не отличается от аналогичной процедуры для уравнений в декартовой системе координат относительно декартовых компонент скоростей. Векторы линейризованных переменных, относительно которых записываются уравнения в цилиндрической системе координат, приобретают вид

$$\mathbf{U}' = \left( \rho', u'_z, u'_r, u'_\varphi, p' \frac{1}{\bar{\rho}} - \rho' \frac{\bar{p}}{\bar{\rho}^2} \right)^T,$$

фоновых полей –  $\bar{\mathbf{U}} = (\bar{\rho}, \bar{u}_z, \bar{u}_r, \bar{u}_\varphi, \bar{p}/\bar{\rho})^T$ , а сами уравнения записываются в виде

$$\begin{aligned} & \frac{\partial(r\mathbf{Q}^{lin}(\mathbf{U}', \bar{\mathbf{U}}))}{\partial t} + \tilde{\nabla} \cdot (r\mathcal{F}^{conv,lin}(\mathbf{U}', \bar{\mathbf{U}})) - \\ & - \tilde{\nabla} \cdot (r\mathcal{F}^{diss}(\sigma(\mathbf{U}', \tilde{\nabla}\mathbf{U}'), \mathbf{q}(\tilde{\nabla}\mathbf{U}'), \bar{\mathbf{U}}) + r\mathcal{F}^{diss}(\sigma(\bar{\mathbf{U}}, \tilde{\nabla}\bar{\mathbf{U}}), 0, \mathbf{U}')) = \quad (19) \\ & = \mathbf{H}^{conv,lin}(\mathbf{U}', \bar{\mathbf{U}}) + \mathbf{H}^{diss}(\sigma(\mathbf{U}', \tilde{\nabla}\mathbf{U}')), \end{aligned}$$

где линейризованная функция конвективного источникового члена имеет вид

$$\mathbf{H}^{conv,lin}(\mathbf{U}') = (0, 0, p' + \rho' \bar{u}_\varphi^2 + 2\bar{\rho} \bar{u}_\varphi u'_\varphi, -\rho' \bar{u}_r \bar{u}_\varphi - \bar{\rho} u'_r \bar{u}_\varphi - \bar{\rho} \bar{u}_r u'_\varphi, 0)^T.$$

## Уравнения в случае осевой симметрии

Рассмотрим уравнения Навье – Стокса в цилиндрической системе координат (18) для аксиально симметрического течения, т. е. при  $\partial\mathbf{U}/\partial\varphi = 0$ , и линейризованные уравнения (19) при  $\partial\mathbf{U}'/\partial\varphi = 0$  и  $\partial\bar{\mathbf{U}}/\partial\varphi = 0$ . Отметим, что нулевые производные по  $\varphi$  должны быть от цилиндрических, а не от декартовых компонент скоростей.

Для получения уравнений Навье – Стокса в случае осевой симметрии достаточно в (18) занулить производные по  $\varphi$ , то есть заменить оператор  $\hat{\nabla}$  на

$$\hat{\nabla} = (\partial/\partial z, \partial/\partial r, 0).$$

Отметим, что при этом  $u_\varphi$  не обязательно должна равняться 0.

Поскольку по следанному предположению цилиндрические компоненты скорости не зависят от  $\varphi$ , можно вместо (17) записать

$$\begin{aligned} \sigma_{rr} &= \mu \left( \frac{4}{3} \nabla_r u_r - \frac{2}{3r} u_r - \frac{2}{3} \nabla_z u_z \right); & \sigma_{zz} &= \mu \left( \frac{4}{3} \nabla_z u_z - \frac{2}{3r} u_r - \frac{2}{3} \nabla_r u_r \right); \\ \sigma_{r\varphi} &= \mu \left( \nabla_r u_\varphi - \frac{1}{r} u_\varphi \right); & \sigma_{\varphi z} &= \mu (\nabla_z u_\varphi); & \sigma_{rz} &= \mu (\nabla_r u_z + \nabla_z u_r). \end{aligned}$$

Таким образом, при  $\partial \mathbf{U} / \partial \varphi = 0$  все компоненты  $\sigma$  представляются в виде суммы двух частей, одна из которых имеет ту же запись, что и в декартовых координатах, а вторая пропорциональна  $1/r$ . Поэтому запишем

$$\sigma(\mathbf{U}, \hat{\nabla} \mathbf{U}) = \tau(\hat{\nabla} \mathbf{U}) + \frac{1}{r} \check{\sigma}(\mathbf{U}),$$

где компоненты  $\check{\sigma}$  записываются в виде

$$\check{\sigma}_{zz} = \check{\sigma}_{rr} = -\frac{2}{3} \mu u_r, \quad \check{\sigma}_{r\varphi} = -\mu u_\varphi, \quad \check{\sigma}_{\varphi\varphi} = \frac{4}{3} \mu u_r, \quad \check{\sigma}_{\varphi z} = \check{\sigma}_{rz} = 0.$$

Поскольку  $\tau$  и  $\sigma$  линейны по своим аргументам, представленное разложение в равной степени применимо и к линейному случаю.

## Вершинно-центрированный конечно-объёмный метод

В случае неоднородного фонового поля линеаризованные уравнения по сравнению с полными содержат дополнительное слагаемое, возникающее из-за линеаризации диссипативной функции. Способ его аппроксимации не отличается от того, который будет приведён ниже для основного вязкого слагаемого, однако, чтобы нелинейные и линейные уравнения можно было записать единообразно, мы органичимся случаем однородного фонового поля  $\bar{\mathbf{U}}$ , что в силу осевой симметрии подразумевает  $\bar{u}_r = \bar{u}_\varphi = 0$ . Далее для единообразия в линейном случае штрих будем опускать, а в нелинейном случае положим  $\bar{\mathbf{U}} = \mathbf{U}$ .

Предположим, что расчётная область в системе координат  $(z, r)$  покрыта покоящейся неструктурированной сеткой, состоящей в общем случае из треугольников и четырёхугольников. Обозначим радиус-векторы узлов этой сетки через  $\mathbf{r}_i$ . Будем считать, что значения сеточных переменных  $\mathbf{U}$  заданы в узлах

сетки. Для записи консервативной схемы разобьём расчётную область на контрольные объёмы  $C_i$ , каждый из которых содержит ровно один сеточный узел. В случае треугольной сетки будем использовать медианные, а в случае гибридной сетки – прямые контрольные объёмы, которые строятся путём соединения центра каждого сеточного элемента с серединами всех его сторон. Под центром элемента подразумевается точка с радиус-вектором, равным среднему арифметическому радиус-векторов всех вершин элемента. Другим возможным вариантом в случае гибридной сетки являются полупрозрачные контрольные объёмы. Оба типа контрольных объёмов описаны в [8].

Для получения конечно-объёмной схемы проинтегрируем уравнение (18) или (19) по медианному или прямому контрольному объёму некоторого узла  $i$ :

$$\begin{aligned} & \frac{d}{dt} \iint_{C_i} r \mathbf{Q}^{[lin]}(\mathbf{U}) dz dr + \oint_{\partial C_i} r \mathbf{n} \cdot \mathcal{F}^{conv,[lin]}(\mathbf{U}) dl - \\ & - \oint_{\partial C_i} r \mathbf{n} \cdot \mathcal{F}^{visc} \left( \tau(\hat{\nabla} \mathbf{U}) + \frac{1}{r} \check{\sigma}(\mathbf{U}), \mathbf{q}(\hat{\nabla} \mathbf{U}), \bar{\mathbf{U}} \right) dl = \\ & = \iint_{C_i} \mathbf{H}^{conv,[lin]}(\mathbf{U}) dz dr + \iint_{C_i} \mathbf{H}^{visc}(\mathbf{U}, \hat{\nabla} \mathbf{U}) dz dr. \end{aligned} \quad (20)$$

Здесь  $\hat{\nabla} = (\partial/\partial z, \partial/\partial r, 0)$ ,  $\mathbf{n}$  – вектор единичной, внешней к  $C_i$  нормали.

Введём обозначение  $N_1(i)$  для множества узлов, соединённых с узлом  $i$  ребром (в случае прямых контрольных объёмов), либо входящих с узлом  $i$  в общий элемент (в случае полупрозрачных контрольных объёмов). Тогда граница контрольного объёма  $C_i$  распадается на общие границы контрольных объёмов  $i$  и  $k$ ,  $k \in N_1(i)$ , и половины граничных рёбер расчётной области. Обозначим последние через  $E_{im}$ ,  $m = 1, 2$  (в двумерном случае граничные узлы инцидентны ровно двум рёбрам). Определим для контрольного объёма площадь  $S_i$  и объём фигуры вращения  $V_i$  (в расчёте на 1 радиан) равенствами

$$S_i = \iint_{C_i} dz dr, \quad V_i = \iint_{C_i} r dz dr.$$

По определению центра масс контрольного объёма  $\mathbf{r}_i^{m.c.} = \{r_i^{m.c.}, z_i^{m.c.}\}$  можно записать  $V_i = r_i^{m.c.} S_i$ . Отметим, что центр масс контрольного объёма, вообще говоря, не совпадает с его узлом.

Также определим ориентированную площадь фигуры, полученной вращением некоторого отрезка  $E$ , лежащего в плоскости  $\varphi = 0$ , с вершинами  $E1$  и  $E2$ , также в расчёте на 1 радиан:

$$\mathbf{n}_E = \int_E r d\mathbf{l}^\perp = \frac{r_{E1} + r_{E2}}{2} \int_E d\mathbf{l}^\perp.$$

Ориентированная площадь поверхности вращения общей границы двух контрольных объёмов вычисляется как

$$\mathbf{n}_{ik} = \int_{\partial C_i \cap \partial C_k} r dl = \sum_{E \in \partial C_i \cap \partial C_k} \mathbf{n}_E.$$

Запишем аппроксимацию равенства (20) по рёберно-ориентированной схеме.

1. Заменяем интегральное среднее от  $\mathbf{Q}^{[lin]}(\mathbf{U})$  по фигуре вращения на точечное значение сеточной функции  $\mathbf{Q}^{[lin]}$  в узле  $i$ . Таким образом, первое слагаемое в разностной схеме будет иметь вид  $V_i d\mathbf{Q}_i^{[lin]}/dt$ .

2. Для аппроксимации второго слагаемого запишем

$$\oint_{\partial C_i} r \mathbf{n} \cdot \mathcal{F}^{conv,[lin]}(\mathbf{U}) dl = \sum_{k \in N_1(i)} \int_{\partial C_i \cap \partial C_k} r \mathbf{n} \cdot \mathcal{F}^{conv,[lin]}(\mathbf{U}) dl + \sum_{m=1}^2 \int_{E_{im}} r \mathbf{n} \cdot \mathcal{F}^{conv,[lin]}(\mathbf{U}) dl.$$

В интеграле по  $\partial C_i \cap \partial C_k$  заменим  $\mathcal{F}^{conv,[lin]}$  на точечное значение в середине рёбра. В случае с граничными рёбрами поток также заменим некоторым средним по  $E_{im}$ , которое определим позже. Получим

$$\oint_{\partial C_i} r \mathbf{n} \cdot \mathcal{F}^{conv,[lin]}(\mathbf{U}) dl = \sum_{k \in N_1(i)} \mathbf{n}_{ik} \cdot \mathcal{F}_{ik} + \sum_{m=1}^2 \mathbf{n}_{im} \cdot \mathcal{F}_{im} = \sum_{k \in N_1(i)} \mathbf{h}_{ik} |\mathbf{n}_{ik}| + \sum_{m=1}^2 \mathbf{h}_{im} |\mathbf{n}_{im}|,$$

где  $\mathbf{h}_{ik} = (\mathbf{n}_{ik}/|\mathbf{n}_{ik}|) \cdot \mathcal{F}_{ik}$  – значение численного потока. Для внутренних рёбер оно определяется путём точного или некоторого приближённого решения задачи Римана относительно некоторым образом определённых предраспадных значений  $\mathbf{U}_{ik}^L$  и  $\mathbf{U}_{ik}^R$ . В простейшем случае  $\mathbf{U}_{ik}^L = \mathbf{U}_i$  и  $\mathbf{U}_{ik}^R = \mathbf{U}_k$ . Для более точной аппроксимации конвективных потоков нужно определять  $\mathbf{U}_{ik}^L$  и  $\mathbf{U}_{ik}^R$  таким образом, чтобы они аппроксимировали значение  $\mathbf{U}$  в средние рёбра  $ik$  со вторым порядком. В проводимых ниже тестах для этого будет использоваться схема с квазиодномерной реконструкцией переменных EBR3 [3].

Отметим, что свойство вырождения в конечно-разностную схему высокого порядка на трансляционно-инвариантной сетке (ранее мы называли такие сетки трансляционно-симметрическими) у схем EBR в цилиндрической геометрии

теряется даже для линейных задач. На равномерной декартовой (в плоскости  $z, r$ ) сетке его можно восстановить, если в радиальном направлении реконструировать не физические ( $\rho, u_z, u_r, u_\varphi, p$ ) или потоковые переменные, а потоковые переменные, домноженные на  $r$  (см., например, [9]). Однако разработка схемы для неструктурированной сетки, которая бы использовала это свойство, представляет собой отдельную проблему, и её сложность, на наш взгляд, существенно превосходит её актуальность.

3. Рассмотрим теперь аппроксимацию вязких потоков. Предположим вначале, что расчётная сетка является треугольной. Представим контурный интеграл в виде суммы интегралов по отрезкам, входящих в границу контрольного объёма. Каждый такой отрезок полностью лежит в пределах некоторого треугольника  $T$ .

$$\begin{aligned} & \oint_{\partial C_i} r \mathbf{n} \cdot \mathcal{F}^{visc}(\sigma(\mathbf{U}, \hat{\nabla} \mathbf{U}), \mathbf{q}(\hat{\nabla} \mathbf{U}), \bar{\mathbf{U}}) dl = \\ & = \sum_{k \in N_1(i)} \sum_{T \ni i, k} \int_{\partial C_i \cap \partial C_k \cap T} r \mathbf{n} \cdot \mathcal{F}^{visc} \left( \tau(\hat{\nabla} \mathbf{U}) + \frac{1}{r} \check{\sigma}(\mathbf{U}), \mathbf{q}(\hat{\nabla} \mathbf{U}), \bar{\mathbf{U}} \right) dl + \\ & \quad + \sum_{m=1}^2 \int_{E_{im}} r \mathbf{n} \cdot \mathcal{F}^{visc} \left( \tau(\hat{\nabla} \mathbf{U}) + \frac{1}{r} \check{\sigma}(\mathbf{U}), \mathbf{q}(\hat{\nabla} \mathbf{U}), \bar{\mathbf{U}} \right) dl. \end{aligned}$$

Здесь  $T \ni i, k$  – треугольник, опирающийся на ребро  $ik$ .

В пределах треугольника будем считать значения  $\hat{\nabla} \mathbf{U}$ , а также  $\mathbf{U}$ , входящего в  $\check{\sigma}$  и в качестве дополнительного параметра в  $\mathcal{F}$ , постоянными. Значение  $\mathbf{U}$  на треугольнике будем вычислять как среднее арифметическое значений  $\mathbf{U}$  в его вершинах, и градиент  $\hat{\nabla} \mathbf{U}$  на треугольнике по значениям в вершинах определяется обычным образом.

Рассмотрим некоторый отрезок  $E$ , внутренний (соединяющий середину ребра с центром масс треугольника) или граничный (половину граничного ребра). Пусть это ребро лежит внутри (или на границе) треугольника  $T$ . Аппроксимируем интеграл по этому ребру от вязких потоков следующим образом:

$$\begin{aligned} & \int_E r \mathbf{n} \cdot \mathcal{F}^{visc} \left( \tau(\hat{\nabla} \mathbf{U}) + \frac{1}{r} \check{\sigma}(\mathbf{U}), \mathbf{q}(\hat{\nabla} \mathbf{U}), \bar{\mathbf{U}} \right) dl \simeq \\ & \simeq \int_E r d\mathbf{l}^\perp \cdot \mathcal{F}^{visc}(\tau_T, \mathbf{q}_T, \bar{\mathbf{U}}_T) + \int_E d\mathbf{l}^\perp \cdot \mathcal{F}^{visc}(\check{\sigma}(\mathbf{U}_T), 0, \bar{\mathbf{U}}_T). \end{aligned}$$



Здесь  $\tau_T$  – фрагмент тензора вязких напряжений, посчитанный по производным на треугольнике  $T$ , а  $\mathbf{U}_T$  и  $\bar{\mathbf{U}}_T$  – средние значения переменных на треугольнике.

В случае гибридной сетки построим два её треугольных разбиения таким образом, чтобы каждый четырёхугольник был в них разбит разными диагоналями. На каждой из сеток запишем аппроксимацию вязких членов. Взяв их полусумму, получим аппроксимацию вязких членов на исходной гибридной сетке.

4. Аппроксимация конвективного источникового члена. Конвективное слагаемое  $\mathbf{H}^{conv}$  или  $\mathbf{H}^{conv,lin}$  не содержит ни производных, ни деления на  $r$ . В настоящей работе будем рассматривать два варианта аппроксимации этого слагаемого. В первом случае значение  $\mathbf{U}$  в пределах контрольного объёма заменим точечным значением:

$$\iint_{C_i} \mathbf{H}^{conv,[lin]}(\mathbf{U}) dz dr \simeq S_i \mathbf{H}^{conv,[lin]}(\mathbf{U}_i). \quad (21)$$

Во втором случае на каждом сеточном элементе определим интерполянт, который затем проинтегрируем по контрольному объёму аналитически. Получим

$$\iint_{C_i} \mathbf{H}^{conv,[lin]}(\mathbf{U}) dz dr \simeq S_i \langle \mathbf{H}^{conv,[lin]}(\mathbf{U}) \rangle_i, \quad (22)$$

где символом  $\langle \dots \rangle_i$  обозначено осреднение по контрольному объёму. Осреднение от набора величин выполняется покомпонентно. Для некоторой функции  $f$  оно записывается в виде

$$\langle f \rangle_i = \frac{\sum_{T \ni i} S_T \sum_{j \in T} \alpha_{ij} f_j}{\sum_{T \ni i} S_T},$$

где  $S_T$  – площадь сеточного элемента, а  $\alpha_{ij}$  – некоторые коэффициенты. В случае треугольной сетки на треугольнике будем использовать стандартный линейный интерполянт, при этом получим  $\alpha_{ij} = 22/36$  при  $i = j$  и  $\alpha_{ij} = 7/36$  иначе. Для четырёхугольника можно получить  $\alpha_{ij} = 7/12$  при  $i = j$ ,  $\alpha_{ij} = 1/6$ , если  $i$  и  $j$  соединены ребром, и  $\alpha_{ij} = 1/12$ , если  $i$  и  $j$  соединяются диагональю. Интерполяция, полученная методом локальных разбиений, даёт близкие коэффициенты, соответственно,  $11/18$ ,  $7/48$  и  $7/72$ .

Перейдём теперь к аппроксимации  $\mathbf{H}^{diss}$ . Градиенты в узле, входящие в формулу для  $\mathbf{H}^{diss}$ , вычисляются как средний градиент по треугольникам, содержащим этот узел, с весом, равным площади этого треугольника. Также в вязких

слагаемых присутствуют члены вида  $u_r/r$  и  $u_\varphi/r$ . В узлах, не лежащих на оси, будем использовать простейшую, точечную, аппроксимацию этих слагаемых. Поскольку при  $r = 0$  для точного решения выполняется  $u_r|_{r=0} = u_\varphi|_{r=0} = 0$ , при  $r \rightarrow 0$  справедливо  $u_r/r \rightarrow \partial u_r/\partial r(0)$  и  $u_\varphi/r \rightarrow \partial u_\varphi/\partial r(0)$ . Поэтому для аппроксимации источниковых членов в узлах, лежащих на оси, отношения заменяются на соответствующие производные.

## Граничные условия

Для рёберно-ориентированных схем используются два типа граничных условий (ГУ): потоковые и точечные. Потоковые условия заключаются в задании конвективных и вязких потоков через границу контрольного объёма, лежащую на границе расчётной области. Конкретный вид численного потока определяется конкретным типом граничного условия. Точечные же условия заключаются в следующем. Полудискретная аппроксимация уравнений Навье – Стокса в конечном счёте записана в виде

$$V_i \frac{d\mathbf{Q}_i}{dt} = \Phi_i(\{\mathbf{Q}\}, t),$$

где функция  $\Phi$  включает в себя конвективные, вязкие и источниковые слагаемые. Точечные граничные условия заключаются в том, что посчитанное значение  $\Phi_i$  в граничных узлах игнорируется и заменяется граничным условием. В частности, если на некоторую переменную  $q$  требуется наложить условие  $(dq/dt)_i = 0$ , то соответствующая компонента функции  $\Phi_i(\{\mathbf{Q}\}, t)$  зануляется. Условие  $q_i = 0$  заменяется на совокупность  $q_i(0) = 0$  и  $(dq/dt)_i = 0$ , причём первое устанавливается в начальный момент времени, а задание второго не отличается от предыдущего случая.

В настоящей работе рассматривались два варианта задания граничных условий на оси вращения. В первом случае на оси держались значения  $u_r = u_\varphi = 0$ . Для компонент, не затрагиваемых точечными граничными условиями, задание потокового на границе не требуется, так как потоки содержат множитель  $r$ , равный нулю. Во втором случае никаких точечных условий на оси не накладывалось вовсе. Существенной разницы между этими постановками обнаружено не было. В приводимых ниже численных расчётах задач при наличии вязкости использовался первый вариант, а при отсутствии вязкости – второй.

Для невязкой задачи для задания условий непротекания в соответствии с [2] используются потоковые граничные условия. Численный поток через граничное ребро задаётся в виде  $\mathbf{h}_{im} = (0, p_i n_{im}^z, p_i n_{im}^r, 0, 0)^T$ , где  $p_i$  – давление в граничном узле, а  $n_{im}^z$  и  $n_{im}^r$  – компоненты вектора ориентированной площади  $\mathbf{n}_{im}$ .

Условие прилипания предполагает нулевой поток массы (потоковый тип ГУ) и зануление производных от всех компонент скоростей на границе (то-

чечный тип ГУ). При использовании адиабатических стенок граничный поток энергии задаётся равным 0, либо, если граница движется, поток определяется путём вычисления диссипативной функции. При использовании изотермических стенок используется условие  $dT/dt = 0$ . В случае линеаризованных уравнений  $T' = p' - \rho'/\gamma$ , а  $p' = (\gamma - 1)E'$ , где  $E'$  – пульсация полной энергии. Поэтому граничное условие приводится к виду

$$\frac{d}{dt} \left( (\gamma - 1)E' - \frac{\rho'}{\gamma} \right) = 0.$$

При ап проксимаици уравнение для пульсации плотности не меняется, а уравнение для пульсации полной энергии заменяется на

$$V_i \frac{dE'_i}{dt} = \frac{1}{\gamma(\gamma - 1)} \Phi_i^{(\rho)}.$$

Таким образом, изотермическое условие на температуру имеет обычный вид точечных ГУ. Аналогичным образом изотермическое условие записывается и в случае полных уравнений Навье – Стокса.

Для входной и выходной границы расчётной области  $\mathcal{F}_{i,m}^{conv}$  определяется решением задачи Римана относительно переменных  $\mathbf{Q}_i$  и  $\mathbf{Q}_\infty(\mathbf{Q}_i)$ , причём последняя определяется конкретным типом граничного условия. В простейшем случае  $\mathbf{Q}_\infty$  не зависит от  $\mathbf{Q}_i$  и соответствует невозмущённому потоку. Некоторые другие способы задания граничных условий см. в [10].  $\mathcal{F}^{diss}$  полагается равным нулю.

## Верификация: линейные возмущения

Всюду в настоящем разделе будем рассматривать нестационарные начально-краевые задачи для уравнения Эйлера или Навье – Стокса, линеаризованные на фоновом поле  $\bar{\rho} = 1$ ,  $\bar{\mathbf{u}} = 0$ ,  $\bar{p} = 1/\gamma$ ,  $\gamma = 1.4$ . Начальные данные задаются при  $t = 0$  соответственно точному решению.

Расчёты будем проводить на декартовых сетках из квадратов с длиной стороны  $h$  и на неструктурированных треугольных сетках с характерной длиной ребра  $h$ , построенной генератором gmsh [11]. В качестве меры ошибки будем использовать разность между плотностью и её точным значением на конечный момент времени в нормах  $L_\infty$  и  $L_1$ . Все результаты приводятся при точечной аппроксимации источника (21) и при аппроксимации с осреднением (22).

Вначале верифицируем разработанный алгоритм на акустической волне при отсутствии вязкости и теплопроводности. Рассмотрим точное решение

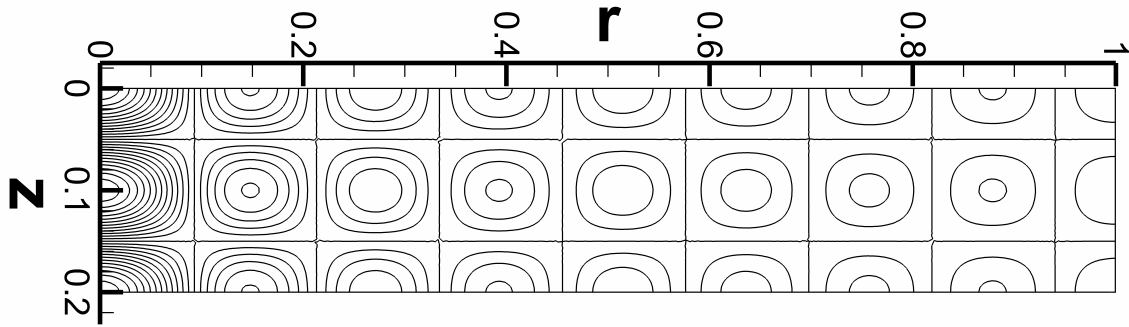


Рис. 1. Изолинии  $\rho'$  в плоскости  $(r, z)$  в случае  $k = 10\pi$ ,  $m = 8$  при  $t = 0$

$$\begin{aligned}
 u'_z(z, r, \varphi, t) &= -\frac{k J_0(\varkappa r)}{\omega J_0(\varkappa R)} \cos(kz + \omega t), \\
 u'_r(z, r, \varphi, t) &= \frac{\varkappa J_1(\varkappa r)}{\omega r J_0(\varkappa R)} \sin(kz + \omega t), \\
 u'_\varphi(z, r, \varphi, t) &= 0, \\
 \rho'(z, r, \varphi, t) &= p'(z, r, \varphi, t) = \frac{J_0(\varkappa r)}{J_0(\varkappa R)} \cos(kz + \omega t),
 \end{aligned} \tag{23}$$

где  $k$  – осевое волновое число,  $\varkappa = \lambda_m/R$ ,  $\omega = (\varkappa^2 + k^2)^{1/2}$  – частота,  $J_0(x)$  и  $J_1(x)$  – функции Бесселя 1-го рода индекса 0 и 1 соответственно,  $\lambda_m$  –  $m$ -й нуль функции  $J_1(x)$ . Радиус канала  $R$  положим равным 1, и на его боковой стенке зададим условие отражения.

Численная ошибка по плотности на время  $t = 10$  в случае  $k = 0$ ,  $m = 1$  сведена в таблицу 1. Видно, что ошибка в интегральной норме почти не зависит от способа аппроксимации источникового члена. А в норме  $L_\infty$  при точечной аппроксимации ошибка оказывается меньше. Глядя на распределение ошибки (в препринте оно не приводится), можно заметить, что в случае осреднённой аппроксимации источника максимум ошибки находится на оси или в одном из соседних с ней узлов, тогда как при точечной аппроксимации он находится не на оси.

Численная ошибка по плотности на время  $t = 10$  в случае  $k = 10\pi$ ,  $m = 8$  представлена в таблице 2. Это решение в начальный момент времени изображено на рис. 1, где показаны изолинии плотности от  $\rho' = -6$  до  $\rho' = 6$  с шагом 0.5.

Таблица 1

**Численная ошибка решения задачи о невязкой волне,  $k = 0, m = 1$**

		Усреднённая аппроксимация источника		Точечная аппроксимация источника	
сетка	$h$	ошибка, $L_\infty$	ошибка, $L_1$	ошибка, $L_\infty$	ошибка, $L_1$
квадратная	1/50	$4.07 \times 10^{-3}$	$1.14 \times 10^{-3}$	$3.02 \times 10^{-3}$	$1.15 \times 10^{-3}$
	1/100	$1.22 \times 10^{-3}$	$3.42 \times 10^{-4}$	$9.17 \times 10^{-4}$	$3.46 \times 10^{-4}$
	1/200	$3.38 \times 10^{-4}$	$9.28 \times 10^{-5}$	$2.50 \times 10^{-4}$	$9.39 \times 10^{-5}$
неструкт.	1/50	$4.41 \times 10^{-3}$	$1.10 \times 10^{-3}$	$3.29 \times 10^{-3}$	$1.11 \times 10^{-3}$
	1/100	$1.57 \times 10^{-3}$	$3.09 \times 10^{-4}$	$9.31 \times 10^{-4}$	$3.11 \times 10^{-4}$
	1/200	$4.50 \times 10^{-4}$	$7.97 \times 10^{-5}$	$2.47 \times 10^{-4}$	$8.01 \times 10^{-5}$

Таблица 2

**Численная ошибка решения задачи о невязкой волне,  $k = 10\pi, m = 8$**

		Усреднённая аппроксимация источника		Точечная аппроксимация источника	
сетка	$h$	ошибка, $L_\infty$	ошибка, $L_1$	ошибка, $L_\infty$	ошибка, $L_1$
квадратная	1/200	$7.30 \times 10^{-1}$	$6.70 \times 10^{-2}$	$8.02 \times 10^{-1}$	$6.55 \times 10^{-2}$
	1/400	$9.61 \times 10^{-2}$	$9.27 \times 10^{-3}$	$1.11 \times 10^{-1}$	$8.70 \times 10^{-3}$
	1/800	$1.35 \times 10^{-2}$	$1.34 \times 10^{-3}$	$1.35 \times 10^{-2}$	$1.34 \times 10^{-3}$
неструкт.	1/200	$1.05 \times 10^0$	$9.12 \times 10^{-2}$	$1.11 \times 10^0$	$8.94 \times 10^{-2}$
	1/400	$1.64 \times 10^{-1}$	$1.32 \times 10^{-2}$	$1.86 \times 10^{-1}$	$1.25 \times 10^{-2}$
	1/800	$4.17 \times 10^{-2}$	$2.11 \times 10^{-3}$	$4.51 \times 10^{-2}$	$1.85 \times 10^{-3}$

Перейдём теперь к верификации линеаризованных уравнений Навье – Стокса. Рассмотрим задачу о поршневой моде в канале при наличии вязкости и теплопроводности. Эта задача впервые была решена Кирхгоффом [12], конечное выражение и детали реализации см. в [13]. Коэффициент вязкости зададим большим, чтобы вязкие эффекты доминировали над конвективными. Используя комплекснозначное точное решение этой задачи, мы подразумеваем, что в качестве начальных данных и эталона для сравнения используется его действительная часть.

Будем использовать следующий набор параметров: радиус канала  $R = 1$ , коэффициент вязкости  $\mu = 1$ , число Прандтля  $Pr = 1$ , показатель адиабаты

Таблица 3

**Численная ошибка решения задачи о вязкой теплопроводной волне**

		Усреднённая аппроксимация источника		Точечная аппроксимация источника	
сетка	$h$	ошибка, $L_\infty$	ошибка, $L_1$	ошибка, $L_\infty$	ошибка, $L_1$
квадратная	1/50	$2.82 \times 10^{-2}$	$3.36 \times 10^{-3}$	$2.90 \times 10^{-2}$	$3.26 \times 10^{-3}$
	1/100	$9.54 \times 10^{-3}$	$7.98 \times 10^{-4}$	$9.80 \times 10^{-3}$	$7.91 \times 10^{-4}$
	1/200	$3.27 \times 10^{-3}$	$2.01 \times 10^{-4}$	$3.33 \times 10^{-4}$	$2.02 \times 10^{-4}$
неструкт.	1/50	$2.60 \times 10^{-2}$	$2.22 \times 10^{-3}$	$2.29 \times 10^{-2}$	$2.19 \times 10^{-3}$
	1/100	$1.08 \times 10^{-3}$	$5.27 \times 10^{-4}$	$8.97 \times 10^{-3}$	$5.38 \times 10^{-4}$
	1/200	$3.71 \times 10^{-3}$	$1.33 \times 10^{-4}$	$3.25 \times 10^{-3}$	$1.37 \times 10^{-4}$

Таблица 4

**Численная ошибка решения задачи о вихревом возмущении**

		Усреднённая аппроксимация источника		Точечная аппроксимация источника	
сетка	$h$	ошибка, $L_\infty$	ошибка, $L_1$	ошибка, $L_\infty$	ошибка, $L_1$
квадратная	1/50	$6.99 \times 10^{-6}$	$2.81 \times 10^{-6}$	$6.99 \times 10^{-6}$	$2.81 \times 10^{-6}$
	1/100	$1.74 \times 10^{-6}$	$7.01 \times 10^{-7}$	$1.74 \times 10^{-6}$	$7.01 \times 10^{-7}$
	1/200	$4.36 \times 10^{-7}$	$1.75 \times 10^{-7}$	$4.36 \times 10^{-7}$	$1.75 \times 10^{-7}$
неструкт.	1/50	$8.14 \times 10^{-6}$	$2.89 \times 10^{-6}$	$8.14 \times 10^{-6}$	$2.89 \times 10^{-6}$
	1/100	$2.33 \times 10^{-6}$	$7.21 \times 10^{-7}$	$2.33 \times 10^{-6}$	$7.21 \times 10^{-7}$
	1/200	$5.43 \times 10^{-7}$	$1.83 \times 10^{-5}$	$5.43 \times 10^{-7}$	$1.83 \times 10^{-7}$

$\gamma = 1.4$ , радиальная мода  $m = 3$ , осевое волновое число  $k = 2\pi$ . При этом частота колебаний равна  $\omega = 11.7014553388525 + i 1.35317029113126$ . Амплитуда плотности в начальный момент времени примерно равна 4.01. Расчёт проводился до момента времени  $t = 1$ , и за счёт диссипации (определяемой мнимой частью частоты) на конечный момент времени она становится примерно равной 1.04. Результаты сведены в таблицу 3.

Также рассмотрим вихревое возмущение при наличии вязкости в отсутствие теплопроводности. Для задания такого возмущения нужно задать начальные данные  $\rho' = p' = u'_r = u'_z = 0$ , а азимутальная скорость может быть произвольной функцией  $r$  и  $z$ . Для получения решения начальные данные разлага-

Таблица 5

**Предельное число Куранта**

	Усреднённая аппроксимация источника	Точечная аппроксимация источника
Без ГУ на оси	0.925	0.875
Задание на оси $u_r = u_\varphi = 0$	0.925	0.925

ются в ряд по собственным функциям, каждая из которых затухает по времени со своей скоростью. Общее решение записывается в виде

$$u_\varphi(r, z, t) = \int_{k=-\infty}^{\infty} dk \sum_{m=1}^{\infty} \alpha_m(k) \exp(i\omega_{k,m}t + ikz) J_1\left(\lambda_m \frac{r}{R}\right),$$

$$\omega_{k,m} = i\mu \left( k^2 + \frac{\lambda_m^2}{R^2} \right),$$

где  $J_1(x)$  – функция Бесселя 1-го рода индекса 1,  $\lambda_m$  – её  $m$ -й нуль,  $\alpha_m(k)$  – произвольные функции, определяемые из начальных условий. Начальные данные задавались в виде

$$u_\varphi(r, z, 0) = \cos(2\pi z)r \sin(\pi r),$$

то есть решение соответствовало одному волновому числу вдоль оси и всему множеству радиальных волновых чисел  $m$ . Ошибка относительно точного решения на момент времени  $t = 10$  сведена в таблицу 6. Поскольку все переменные, кроме  $u_\varphi$ , равны 0 как в точном, так и в численном решении, ошибка выводилась по  $u_\varphi$ . Решение не завит от способа аппроксимации  $\mathbf{H}^{conv,lin}$ , поскольку это слагаемое равно 0.

В таблице 5 представлено предельное число Куранта, при котором на декартовых сетках наблюдается устойчивый счёт невязкой задачи. Число Куранта приведено в зависимости от способа аппроксимации источникового члена и наличия граничных условий на оси, с точностью до 0.025. Видно, что рассматриваемые детали аппроксимации практически не влияют на устойчивость численного метода.

**Верификация: течение между вращающимися цилиндрами**

Для верификации разработанного метода в случае нелинейных уравнений рассмотрим задачу о стационарном течении между вращающимися цилиндрами. Расчётная область имеет вид  $1 < r < 2$ ,  $z_1 < z < z_2$ , но зависимость от  $z$

Таблица 6

**Ошибка относительно точного решения по азимутальной скорости  
и температуре**

$h$	Декартова сетка		Неструктурированная сетка	
	ошибка по $T$	ошибка по $u_\varphi$	ошибка по $T$	ошибка по $u_\varphi$
0.1	$1.01 \times 10^{-4}$	$4.32 \times 10^{-5}$	$1.36 \times 10^{-4}$	$1.87 \times 10^{-4}$
0.05	$2.87 \times 10^{-5}$	$1.12 \times 10^{-5}$	$2.78 \times 10^{-5}$	$4.96 \times 10^{-5}$

отсутствует. На внутреннем цилиндре ( $r = 1$ ) зададим условие  $u_\varphi = 0.15$ , что соответствует вращению внутреннего цилиндра с угловой скоростью  $\omega = 0.15$  вокруг оси  $z$ , и приравняем к нулю тепловой поток:  $\partial T / \partial n = 0$ , где  $T = p/\rho$ . На внешнем цилиндре ( $r = 2$ ) зададим нулевую скорость и постоянную температуру, равную  $1/\gamma$ ,  $\gamma = 1.4$ . Коэффициент динамической вязкости  $\mu$  будем полагать одинаковым во всей области. Точное решение этой задачи не зависит от конкретных значений коэффициента вязкости и теплопроводности, мы использовали  $\mu = 0.01$  и  $Pr = 1$ .

В таблицу 6 сведены максимумы по всей области отличия численного решения от точного по азимутальной скорости и температуре.

## Заключение

В работе проведена дискретизация уравнений Навье – Стокса для осесимметрических течений при помощи метода конечных объёмов при определении переменных в узлах, причём для конвективных слагаемых использовался его рёберно-ориентированный вариант. В численных экспериментах метод показывает порядок точности между первым и вторым. Существенной зависимости от способа аппроксимации источникового члена и задания дополнительных граничных условий на оси ни по точности, ни по устойчивости численного метода не наблюдается.

## Список литературы

1. Gross A., Fasel H. Numerical investigation of supersonic flow for axisymmetric cones // Mathematics and Computers in Simulation. 2010. Vol. 81. P. 133–142.
2. Stoufflet B., Fezoui F. P., Dervieux A. Numerical simulation of 3-D hypersonic Euler flows around space vehicles using adapted finite elements // AIAA Paper No. 87-0560. 1987.



3. Abalakin I., Bakhvalov P., Kozubskaya T. Edge-based reconstruction schemes for unstructured tetrahedral meshes // *International Journal for Numerical Methods in Fluids*. 2016. Vol. 81. P. 331–356.
4. Pincock B., Katz A. High-Order Flux Correction for Viscous Flows on Arbitrary Unstructured Grids // *J. Sci. Comput.* New York, NY, USA, 2014. nov. T. 61, № 2. С. 454–476.
5. Work C. D., Katz A. J. Aspects of the Flux Correction Method for Solving the Navier-Stokes Equations on Unstructured Meshes // *AIAA paper No. 2015-0834*. 2015.
6. Barth T. J. Numerical aspects of computing high Reynolds number flows on unstructured meshes // *AIAA Paper No. 91-0721*. 1991.
7. Nishikawa H. A first-order system approach for diffusion equation. II: unification of advection and diffusion // *Journal of Computational Physics*. 2009. T. 227. С. 315–352.
8. Бахвалов П. А., Козубская Т. К. О построении рёберно-ориентированных схем, обеспечивающих точность на линейной функции, для решения уравнений Эйлера на неструктурированных сетках // *Журнал вычислительной математики и математической физики*. 2017. Т. 57, № 4. С. 92–111.
9. Wang S., Johnsen E. High-order schemes for cylindrical/spherical geometries with cylindrical/spherical symmetry // *AIAA Paper No. 2013-2430*. 2013.
10. Carlson J.-R. Inflow/Outflow Boundary Conditions with Application to FUN3D: Tech. Rep.: NASA/TM–2011-217181: NASA, 2011.
11. Geuzaine C., Remacle J.-F. Gmsh: a three-dimensional finite element mesh generator with built-in pre- and post-processing facilities. 1997.
12. Kirchhoff G. Über der Einfluss der Wärmeleitung in einem Gase auf die Schallbewegung // *Annalen der Physik und Chemie*. 1868. Vol. 134, no. 6.
13. Бахвалов П. А. Звуковая волна в круглой бесконечной трубе при наличии вязкости и теплопроводности // *Препринты ИПМ им. М.В.Келдыша*. 2017. № 135. С. 1–32. URL: <http://library.keldysh.ru/preprint.asp?id=2017-135>.